

©1994

## МАГНИТНАЯ СТРУКТУРА YMn<sub>2</sub>

*А.П.Вохмянин, А.З.Меньшиков, А.Н.Пирогов*

На основе результатов измерений магнитного упругого рассеяния нейтронов при 4.2 К проведем сравнительный анализ возможных магнитных структур в основном состоянии YMn<sub>2</sub>. Показано, что наименьший фактор сходимости  $R = 4.3\%$  соответствует компланарной структуре, в которой взаимно перпендикулярные магнитные моменты атомов марганца лежат в слоях, параллельных базисной плоскости. При этом антиферромагнитное упорядочение спинов наблюдается только в цепочках атомов типа  $\langle 101 \rangle$ . Магнитная структура модулирована в этом направлении с  $\lambda \approx 709$  Å и описывается волновым вектором  $\mathbf{k} = (2\pi/a)(1+2\mu, 0.1+2\mu)$  с  $2\mu = 0.0077$ . Такая геликоида относится к типу скошенной спирали (*SS*) и соответствует наблюдаемым тетрагональным и ромбоэдрическим искажениям кубической решетки, возникающим при фазовом переходе I рода в YMn<sub>2</sub>.

Интерметаллическое соединение YMn<sub>2</sub> с кристаллической структурой *C15* фаз Лавеса обладает ярко выраженным фазовым переходом I рода при температуре  $T_s \approx 100$  К. Этот переход сопровождается значительным изменением объема химической ячейки ( $\Delta V/V \approx 4.2\%$ ) [1,2], а также появлением антиферромагнитного упорядочения, сопровождаемого тетрагональными [3] и ромбоэдрическими [4] искажениями кубической решетки.

В первой работе [5], посвященной изучению магнитной структуры YMn<sub>2</sub>, основное магнитное состояние этого соединения описывалось как коллинеарный антиферромагнетик с направлением магнитных моментов вдоль одной из пространственных диагоналей типа  $\langle 111 \rangle$ . В последующем было найдено [6], что эта структура является модулированной вдоль оси  $a$ . Более того, в работе [7] достаточно хороший  $R$ -фактор был получен для структуры с направлением магнитных моментов по двум пространственным диагоналям типа  $\langle 111 \rangle$ . Однако все эти структуры, находясь в соответствии с наличием ромбоэдрических искажений решетки, противоречили большим тетрагональным искажениям кубической решетки ( $\Delta c/c \approx 10^{-3}$ ), существование которых было подтверждено в недавних подробных исследованиях [8]. В связи с этим в настоящей работе была поставлена задача провести более подробное изучение возможных типов магнитного упорядочения в YMn<sub>2</sub> с целью выявления магнитной структуры с наименьшим  $R$ -фактором, удовлетворяющей тетрагональным искажениям кубической решетки.

Для получения надежных данных об интегральных интенсивностях магнитных рефлексов, а также для выявления расщепления отражения

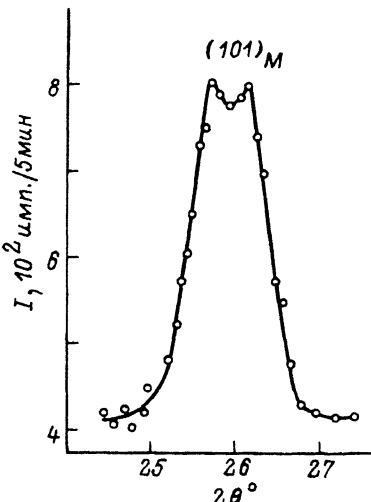


Рис. 1. Участок нейтронограммы  $\text{YMn}_2$  области магнитного рефлекса (101).

(101), не наблюдавшегося в нашем предыдущем исследовании [7], были предприняты меры по улучшению разрешающей способности дифрактометра, установленного на одном из каналов реактора ИВВ-2М. Хорошо коллимированный пучок нейтронов с  $\lambda = 2.42 \text{ \AA}$  был получен отражением от двух монокристаллов германия. Нейтрон-дифракционные измерения проводили на свежеприготовленном сплаве  $\text{YMn}_2$  при  $4.2 \text{ K}$ . Они подтвердили существование расщепления рефлекса (101) (рис. 1), обнаруженного ранее в работе [6]. Предварительно на этом образце рентгенографическим методом было показано также существование тетрагональных искажений при  $T < T_s$ , во величина этих искажений  $1 - c/a \approx 2.3 \cdot 10^{-3}$  была недостаточна для объяснения расщепления, наблюдавшегося на магнитном отражении (101). Это означало, что на месте рефлекса (101) существует два сателлита, свидетельствующие о наличии длинно-периодической модулированной структуры в  $\text{YMn}_2$ , которая должна описываться нелифициевской звездой волнового вектора  $\mathbf{K}$ . Поскольку расщепление рефлекса (101) мало, такой волновой вектор можно представить как сумму волнового вектора соизмеримой структуры  $\mathbf{K}_0$  и волнового вектора ее модуляции  $\delta\mathbf{k}$

$$\mathbf{k} = \mathbf{k}_0 + \delta\mathbf{k},$$

где

$$\delta\mathbf{k} \ll \mathbf{k}_0.$$

Исходя из этого, использованную здесь процедуру расшифровки магнитной структуры  $\text{YMn}_2$  можно разделить условно на два этапа. На первом этапе был проведен численный анализ возможных магнитных структур, у которых магнитные моменты атомов марганца были направлены либо по пространственным диагоналям типа  $\langle 111 \rangle$  («пространственные» структуры), либо по направлениям типа  $\langle 100 \rangle$  или  $\langle 110 \rangle$  («плоские» структуры). На втором этапе соизмеримая магнитная структура с наименьшим  $R$ -фактором была подвержена модуляции в соответствии с найденными из величины расщепления рефлекса (101) ее параметрами.

# 1. Вычисления

Численные расчеты проекций магнитных моментов марганца на оси  $a$ ,  $b$  и  $c$  элементарной ячейки для всех модельных структур были осуществлены путем минимизации функционала

$$\Phi = \sum_{hkl} w(hkl) (I_{\text{эксп}}^2 - I_{\text{расч}}^2)^2, \quad (1)$$

где  $w(hkl)$  — весовой множитель;  $I_{\text{эксп}}$ ,  $I_{\text{расч}}$  — экспериментально определенные и теоретически вычисленные для ионной модели интенсивности отражений с индексами  $(hkl)$  соответственно. Все расчеты выполнены по одной программе с использованием магнитного форм-фактора для иона  $\text{Mn}^{++}$  [9].

Как видно из табл. 1, численные расчеты всех «пространственных» структур, в которых магнитные моменты располагались вдоль одной (структуря I из работы [4]), двух (структуря II из работы [7]) или четырех (структуря III, предложенная в настоящей работе) диагоналей типа  $\langle 111 \rangle$ , привели к одному и тому же результату как по интенсивностям, так и по фактору сходимости  $R = 5.4\%$ . В тоже время модельные «планарные» структуры оказались различными по  $R$ -фактору для случая расположения спинов вдоль одного (структуря IV) или двух направлений (структуря V-VI) типа  $\langle 100 \rangle$  или  $\langle 110 \rangle$ . В последнем случае наблюдался наименьший фактор сходимости  $R = 4.3\%$ . Такой же фактор оказался и у структуры с произвольным направлением магнитных моментов по отношению к кристаллографическим осям, но с сохранением взаимно перпендикулярного расположения спинов (структуря VII). При этом величина магнитного момента марганца оказалась равной  $\mu_{\text{Mn}} = 2.6 \mu_B$  (табл. 1).

Пространственное изображение «планарной» магнитной структуры с наименьшим  $R$ -фактором представлено на рис. 2 для случая расположения магнитных моментов по направлениям типа  $\langle 110 \rangle$ , а проекция этой структуры на плоскость  $(001)$  показана на рис. 3. Особенность ее состоит в том, что антиферромагнитное упорядочение спинов реализуется в цепочках атомов, совпадающих с кристаллографическими направлениями типа  $\langle 101 \rangle$  и  $\langle \bar{1}01 \rangle$  (линии  $CC'$  и  $DD'$  на рис. 3). Энергия обменного взаимодействия между спинами атомов, находящихся в соседних цепочках, равна нулю, поскольку все спины, лежащие в слоях, параллельных плоскости  $(001)$ , образуют угол, равный  $90^\circ$  (линии  $AA'$  и  $BB'$  на рис. 3).

Из рис. 2, где отмечены номера атомов, расположенных в 16  $d$ -позициях, следует, что

$$S_1 = -S_5 = S_9 = -S_{13},$$

$$S_2 = -S_6 = S_{10} = -S_{14},$$

$$S_3 = -S_7 = S_{11} = -S_{15} = -S_1,$$

$$S_4 = -S_8 = S_{12} = -S_{16} = -S_2. \quad (2)$$

Таблица 1

Сравнение результатов расчета интенсивностей магнитных отражений на нейтронограммах для различных моделей магнитной структуры  $\text{YMn}_2$  с результатами эксперимента

$2\Theta$ , град	$hkl$	$I_{\text{эксп}}$	«Пространственная структура»	«Планарная структура»		Модулированная структура
				$I_{\text{расч}}(I-III)$	$I_{\text{расч}}(IV)$	
13.0	100	0	0	0	0	0
18.4	101	1542(1684)*	1441(1688)	1770	1537	1534
22.6	111	0	0	0	0	0
26.1	200	0	0	0	0	0
29.3	210	1795(2263)	1810(2120)	1784	1801	1798
32.2	211	683(712)	698(816)	290	579	578
37.3	220	0	0	0	0	0
39.7	221	0	0	0	0	0
		300				
41.9	310	370(448)	310(364)	378	331	330
44.1	311	0	0	0	0	0
46.1	222	0	0	0	0	0
48.1	320	338(355)	386(453)	136	317	316
50.1	321	307(335)	334(392)	268	323	322
53.8	400	0	0	0	0	0
55.6	322	0	0	0	0	0
		410				
57.3	330	168	148	58	127	127
		411				
59.1	331	0	0	0	0	0
60.8	420	0	0	0	0	0
62.4	421	285	275	234	288	288
64.1	332	57	62	44	62	61
		$R, \%$	5,4(8,5)	19,0	4,3	4,3
		$\mu, \mu_B$	2,7(2,9)	2,5	2,6	2,6

\* В скобках приведены интенсивности отражений, полученные нами на основе данных о структурных факторах этих отражений [6] для условий нашего эксперимента, а также  $R$ -фактор и магнитный момент атома Mn для моделей I-III, следующие из этих интенсивностей.

Тогда компоненты волнового вектора магнитной структуры  $\mathbf{k}_0 = (2\pi/a)(U, V, W)$  можно определить из системы трех уравнений с тремя неизвестными  $(U, V, W)$

$$\mathbf{S}_5 = \mathbf{S}_1 \exp \left\{ i \frac{2\pi}{a} (U, V, W) a \left( 0, -\frac{1}{2}, -\frac{1}{2} \right) \right\},$$

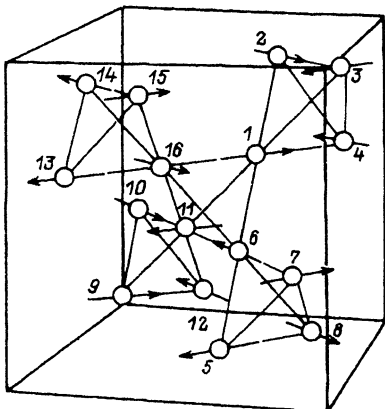


Рис. 2. Взаимная ориентация магнитных моментов в модельной соизмеримой магнитной структуре  $\text{YMn}_2$  для случая расположения магнитных моментов марганца вдоль направлений типа  $\langle 110 \rangle$ .

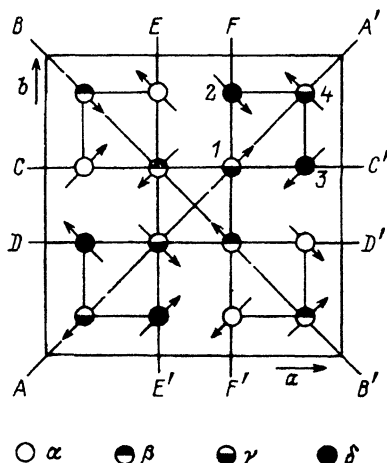


Рис. 3. Проекция магнитной структуры (рис.2) на базисную плоскость.  
 $z = c/8$  (),  $3c/8$  (),  $5c/8$  (),  $7c/8$  ().

$$\begin{aligned} S_9 &= S_1 \exp \left\{ i \frac{2\pi}{a} (U, V, W) a \left( -\frac{1}{2}, 0, -\frac{1}{2} \right) \right\}, \\ S_{13} &= S_1 \exp \left\{ i \frac{2\pi}{a} (U, V, W) a \left( -\frac{1}{2}, -\frac{1}{2}, 0 \right) \right\}. \end{aligned} \quad (3)$$

Эта система в первой зоне Бриллюэна имеет шесть решений

$$\begin{array}{lll} 1. & U = 1, & V = 0, \quad W = 1, \\ 2. & U = 1, & V = 0, \quad W = -1, \\ 3. & U = -1, & V = 0, \quad W = 1, \\ 4. & U = -1, & V = 0, \quad W = -1, \\ 5. & U = 0, & V = 1, \quad W = 0, \\ 6. & U = 0, & V = -1, \quad W = 0 \end{array} \quad (4)$$

Так как все решения эквивалентны между собой, достаточно ограничиться первым из них

$$\mathbf{k}_0 = 2\pi/a(1, 0, 1). \quad (5)$$

Согласно Ковалеву [10], волновой вектор  $\mathbf{k}_0$  принадлежит звезде  $\{\mathbf{k}_{10}\}$  с лучами

$$\mathbf{k}_{01} = \frac{1}{2}(\mathbf{b}_1 + \mathbf{b}_2), \quad \mathbf{k}_{02} = \frac{1}{2}(\mathbf{b}_1 + \mathbf{b}_3), \quad \mathbf{k}_{03} = \frac{1}{2}(\mathbf{b}_2 + \mathbf{b}_3)$$

и с точностью до вектора  $\mathbf{b}_2$  совпадает с лучом  $\mathbf{k}_{02}$

$$\mathbf{k}_0 = \frac{1}{2}(\mathbf{b}_1 + \mathbf{b}_3) + \mathbf{b}_2 \quad (6)$$

Таблица 2

Базисные функции неприводимых представлений группы  $O_h^7$  на позиции 16 (d) для звезды волнового вектора  $k_{02} = 1/2 \cdot (b_1 + b_3)$ , использованные для построения магнитной структуры

Неприводимые представления	Атом			
	1	2	3	4
$\tau'_2$	010	0̄10	01̄0	010
$\tau_3$	000	101	000	1̄0̄1
	10̄1	000	1̄01	000
$\tau_4$	101	000	1̄0̄1	000
	000	10̄1	000	1̄01

Здесь  $b_1$ ,  $b_2$  и  $b_3$  являются основными векторами обратной решетки, построенной для ГЦК-решетки  $\Gamma_c^+$ .

Базисные функции неприводимых представлений  $\tau'_2$ ,  $\tau_3$  и  $\tau_4$  для луча  $k_{02}$ , рассчитанные в [11], приведены в табл. 2. Магнитная структура (рис. 2,3) может быть представлена в виде следующей комбинации магнитных мод:

$$\psi^{\tau'_2} + \frac{1}{2}(\psi^{\tau_3} + \psi^{\tau_4}) \quad (7)$$

и записана в виде

$$1-(110), \quad 2-(1\bar{1}0), \quad 3-(\bar{1}\bar{1}0), \quad 4-(\bar{1}10).$$

Как отмечалось выше, интенсивности магнитных отражений на нейтронограмме  $Y\text{Mn}_2$  не зависят от ориентации магнитных моментов атомов относительно кристаллографических осей. Поэтому в общем случае магнитная структура может быть записана через угол  $\alpha$  между магнитным моментом первого атома Mn и осью  $a$

$$1.\alpha, \quad 2.\alpha \mp \pi/2, \quad 3.\alpha \pm \pi, \quad 4.\alpha \pm \pi/2. \quad (8)$$

Наличие расщепления магнитного рефлекса указывает на существование модуляции соизмеримой структуры. Волновой вектор  $\delta k$  этой модуляции является лучом  $\delta k_2 = \mu(b_1 + 2b_2 + b_3)$  звезды  $\{k_4\}$  [10]. Используя известные соотношения между параметрами прямой и обратной решеток, можно получить

$$\delta k = \frac{2\pi}{a}(2\mu, 0, 2\mu). \quad (9)$$

Следовательно, полный волновой вектор несоизмеримой магнитной структуры запишется следующим образом:

$$k = \frac{2\pi}{a}(1 + 2\mu, 0, 1 + 2\mu). \quad (10)$$

Из данных по расщеплению рефлекса (101) следует, что  $2\mu = 0.0077$ . Это соответствует  $|\delta k| = (2\pi/a) \cdot 2\mu\sqrt{2} \simeq 0.0089 \text{ \AA}^{-1}$  и периоду спирали  $\lambda = 2\pi/|\delta k| \simeq 709 \text{ \AA}$ .

б

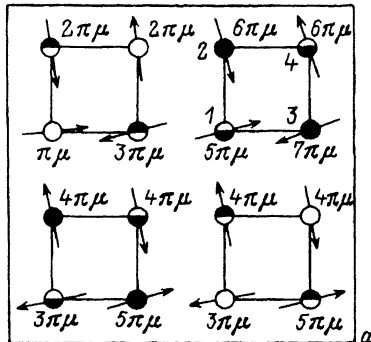


Рис. 4. Фазовые соотношения между атомными спинами для несоизмеримой магнитной структуры  $\text{YMn}_2$ .

Соотношение интенсивностей магнитных отражений, состоящих только из сателлитов, свидетельствует о том, что магнитные моменты атомов Mn в  $\text{YMn}_2$  образуют моделированную магнитную структуру типа спирали. В этой спирали магнитные моменты марганца совершают повороты в базисной плоскости вокруг оси  $C$ . При этом ось спирали  $t$  и вектор модуляции несоизмеримой структуры  $\delta k$  не совпадают друг с другом, а потому подобная геликоида относится к типу скошенной спирали  $SS$  [12].

В случае несоизмеримой магнитной структуры, в которой, как известно, элементарная магнитная ячейка отсутствует, ее модуляция может быть описана следующим фазовым соотношением:

$$S_\nu = S_{0\nu} \exp(i\Phi_\nu), \quad (11)$$

где  $S_{0\nu}$  — спин  $\nu$ -го атома в соизмеримой структуре;  $S_\nu$  — спин того же атома в модулированной структуре;  $\Phi_\nu = (\delta k \cdot t_\nu)$  — фаза, которую приобретает  $\nu$ -й атом в результате модуляции структуры;  $\delta k = (4\pi\mu/a)(1, 0, 1)$  — волновой вектор модуляции;  $t_\nu = a(x_\nu, y_\nu z_\nu)$  — радиус-вектор, характеризующий положение  $\nu$ -го атома в кристалле.

Воспользовавшись этим соотношением, вычислим, например, фазу  $\Phi_\nu$ , которую приобретает вследствие модуляции каждый спин в пределах элементарной ячейки соизмеримой структуры. Ее значения представлены на рис. 4. Видно, что в направлениях  $t_a = a(1, 0, 0)$  и  $t_c = a(0, 0, 1)$  дополнительный поворот осуществляется на угол  $4\pi\mu = 3^\circ$ , а при трансляции вдоль  $t_{ac} = a(1, 0, 1)$  этот поворот в два раза больше. В то же время никакого накопления фазы не наблюдается при трансляции вдоль направлений  $\langle\bar{1}, 0, 1\rangle$  и  $\langle 0, 1, 0\rangle$ , поскольку они перпендикулярны волновому вектору и лежат в плоскости, параллельной фронту спиновой модуляции.

Из представленных результатов следует вывод, что в реальном магнитном кристалле  $\text{YMn}_2$  в случае волнового вектора  $k(2\pi/a)(1+2\mu, 0, 1+2\mu)$  направления  $\langle 101 \rangle$  и  $\langle 101 \rangle$  не эквивалентны. Чтобы они были тождественны, кристалл должен разбиваться на домены, в каждом из которых направление волнового вектора определяется одним из решений выше рассмотренной системы уравнений (для определения  $k_0$ ).

Результаты минимизации функционала (1) с учетом выражения для интенсивности сателлитов [11] (вариант VIII в табл. 1) приводят к  $R$ -фактору, совпадающему с таковым для соизмеримой структуры. Этот вывод следует из независимости интенсивности рефлексов от

угла поворота магнитных моментов атомов Mn при условии, что они остаются в базисной плоскости и отклонение угла между ними от прямого, возникающее при модуляции, не очень велико (на расстояниях порядка параметра элементарной ячейки).

## 2. Обсуждение

Обсудим теперь взаимосвязь расшифрованной здесь магнитной структуры с искажениями кубической решетки, возникающими при фазовом переходе I рода YMn<sub>2</sub> из парамагнитного состояния в магнитоупорядоченное. Эти искажения можно разделить на изотропные и анизотропные. Первые из них на порядок величины больше вторых.

Естественно, что представленная здесь несоизмеримая магнитная структура YMn<sub>2</sub> согласуется с анизотропными (тетрагональными) искажениями решетки, поскольку в этой структуре магнитные моменты атомов марганца лежат в базисной плоскости, а направление ⟨001⟩ является осью спирали. Существование антиферромагнитного взаимодействия между атомами марганца в цепочках типа ⟨101⟩ является также причиной неэквивалентности осей *a* и *b* и приводит к дополнительному ромбоэдрическому искажению, имеющему место в этой структуре [4]. Однако следует заметить, что наблюдаемые тетрагональные искажения ( $\Delta c/c \simeq 10^{-3}$ ) являются достаточно большими для того, чтобы утверждать однозначно о магнитострикционной природе этих искажений. Как правило, для переходных металлов магнитообъемные эффекты существенно меньше (на порядок и более), поэтому, возможно, магнитное упорядочение является результатом изменения симметрии кристаллической решетки и соответственно электронно-энергетического спектра при фазовом переходе I рода, обусловленного «немагнитной» природой.

Обратим также внимание на то обстоятельство, что *R*-фактор «пространственных» магнитных структур отличается от наименьшего *R*-фактора для «планаарных» структур всего на  $\sim 1\%$ . Казалось бы, эти структуры могут быть и вырожденными по энергиям и могут сосуществовать между собой. Однако, как показал Вильян [13], неискаженный тетраэдр является полностью фрустрированным и потому в кубической решетке C15 невозможно существование антиферромагнитного порядка. Действительно, в сплавах  $(Y_{1-x}Lu_x)Mn_2$ , где удается избежать структурного перехода, никаких признаков магнитного упорядочения по данным нейтронографии не наблюдается [14].

Авторы весьма признательны В.Н.Сыромятникову за полезные замечания при обсуждении данной работы.

Работа выполнена при финансовой поддержке Российского фонда фундаментальных исследований (93-02-2808).

## Список литературы

- [1] Nakamura Y. // J. Magn. Magn. Mater. 1983. V. 31-34. P. 829-834.
- [2] Shiga M., Wada H., Nakamura Y. // J. Magn. Magn. Mater. 1983. V. 31-34. P. 119-120.
- [3] Гайдукова И.Ю., Маркосян А.С. // ФММ. 1982. Т. 54. С. 2522-2524.
- [4] Tagawa Y., Sakurai J., Kamura Y., Wada H., Shiga M., Nakamura Y. // J. Phys. Soc. Japan. 1985. V. 54. P. 591-597.
- [5] Nakamura Y., Shiga M., Kowano S. // Physica B. 1983. V. 120. P. 212-218.

- [6] Ballon R., Deportes J., Lemaire R., Nakamura Y., Ouladdia B. // J. Magn. Magn. Mater. 1987. V. 70. P. 129–133.
- [7] Gaidukova I.Yu., Kelarev V.V., Markosian A.S., Menshikov A.Z., Pirogov A.N. // J. Magn. Magn. Mater. 1988. V. 72. P. 357–359.
- [8] Cywinski R., Kilcoyne S.H., Scott C.A. // J. Phys.: Condens. Matter. 1991. V. 3. P. 6473–6485.
- [9] Corliss L., Elliott N., Hastings J. // Phys. Rev. 1956. V. 104. P. 924–928.
- [10] Ковалев О.В. Неприводимые и индуцированные представления и копредставления федоровских групп. М.: Наука, 1986. 367 с.
- [11] Изюмов Ю.А., Найш В.Е., Озеров Р.П. Нейтронография магнетиков. М.: Атомиздат, 1981. 311 с.
- [12] Изюмов Ю.А. Дифракция нейтронов на длиннопериодических структурах. М.: Энергоиздат, 1987. 198 с.
- [13] Villain J. // Z. Phys. B. 1979. V. 33. N 1. P. 31–42.
- [14] Гайдукова И.Ю., Дубенко И.С., Левитин Р.З., Маркосян А.С., Пирогов А.Н. // ЖЭТФ. 1988. Т. 94. С. 234–242.

Институт физики металлов УрО РАН  
Екатеринбург

Поступило в Редакцию  
19 июля 1993 г.